

***Smeringopus atomarius* Simon, 1910**

Simon, E. 1910. Arachnoidea: Araneae (II). In: Zoologische und anthropologische Ergebnisse einer Forschungsreise im westlichen und zentralen Südafrika (L. Schultze, ed.), Vol. 4: 175-218.

p. 190

***Smeringopus atomarius*, sp. nov.**

♀. Long. 6 mm. Cephalothorax paulo latior quam latior, luteo-testaceus, parte cephalica, pone oculos, lineolis binis appropinquatis et leviter curvatis, thoracica vitta media postice valde ampliata et triquetra, atque utrinque linea marginali tenui et interrupta maculisque submarginalibus magnis, valde ramosis et punctatis, nigricantibus, notatus, clypeo, sub oculis, vittis binis nigris, subcontiguis notato. Oculi postici superne visi, in lineam recurvam, medii ovati, spatio oculo vix $\frac{1}{3}$ latiore inter se distantes, quatuor antici in lineam magis recurvam, magni, aequi, medii a lateralibus anguste separati. Area mediorum non multo longior quam postice latior, medii antici posticis paulo majores. Abdomen longum et cylindraceum, postice haud pro-

p. 191

minulum, pallide testaceo-lividum, superne maculis angulosis et inquis crebre uniseriatis et utrinque zonis latis et obliquis, punctatis et lineatis, nigricantibus vel fuscis ornatum, subtus minutissime et parcissime nigro-atomarium et lineatum et postice, ante mamillas, lineola parva, notatum, regione epigastri infuscata et utrinque nigro-marginata. Chelae fulvae, antice, prope marginem interiorem late nigro-vittatae. Sternum nigrum, crebre et inaequaliter fulvo-guttulatum. Pars labialis nigra. Laminae fulvae ad apicem nigro-vittatae. Pedes longissimi, pallide fulvo-testacei, femoribus cunctis crebre nigricanti-atomariis et minute maculatis, patellis infuscatis, femoribus tibiisque ad apicem sat late albis, annulo apicali minutissimo annuloque subapicali paulo latiore nigris cinctis. Pedes-maxillares albo-testacei, femore, patella tibiaque ad apicem minutissime nigro-notatis, tibia patella longiore, cylindracea, tarso tibia breviore apice acuminato et piloso, fusco-rufulo.

Hereroland: Rooibank près Walfish Bay, Otjimbingwe.

Bechuanaland-protectorat: Lehututu, Kang dans le Kalahari.

Cette espèce offre le caractère exceptionnel d'avoir les yeux médians antérieurs aussi gros que les latéraux et plus gros que les médians postérieurs.

Kraus, O. 1957. Araneenstudien 1. Pholcidae (Smeringopodinae, Ninetinae). Senck. biol. 38(3/4): 217-243.

p. 229

***Smeringopus atomarius* SIMON 1910.**

Taf. 23 Fig. 46-52.

v1910 *Smeringopus atomarius* SIMON, Denkschr. med.-naturw. Ges. Jena, 16: 190.

♂ Beschreibung: Ceph so lang wie breit. Clypeus sehr steil, fast senkrecht, seine Höhe gleich dem $3\frac{1}{2}$ fachen Durchmesser der VM. Sternum wenig breiter als lang, fein bekörnelt und beborstet. Auf den Cheliceren (Fig. 46) nahe der Klauen-Basis ein grober Zahnhöcker, der nach vorn und leicht nach medial gerichtet ist.

Reihe der VA recurv, die untere Tangente der VS schneidet die VM wenig oberhalb der Mitte. HA leicht recurv. $VM < HM < VS = HS$. HM um knapp ihren Radius voneinander und um etwas mehr als ihren Radius von den VS entfernt. Abstand der HM wenig kleiner als ihr Längsmesser ($0\cdot14 : 0\cdot16$). Das von den VM+HM gebildete Trapez so lang wie hinten breit ($0\cdot42$).

Beine: Längenverhältnis der Fe I:IV:II:III, Fe I $6\frac{1}{2}$ mal so lang wie der Ceph.

Pedipalpen (Fig. 47-50): Fe, Pt und Ti ohne Besonderheiten. Ta lateral (Fig. 47-48) in einen verhältnismäßig gedrungenen Fortsatz erweitert, der am Ende eine abgewinkelte Platte bildet; diese zeigt neben den geschwärzten Vorsprüngen ihrer Kante einen auffälligen, sehr schlanken Dorn. Bulbus-Apophyse (Fig. 49-50) hammerförmig, der gerundete der beiden Vorsprünge mit schwarzer Nebenkante.

Abd etwa $2\frac{1}{2}$ mal länger als breit.

Maße: Ceph L 2·0; B 2·0. — Abd L 4·9; B 1·9. — Ges L 7·0. — Fe I 13·0; II 10·0; III 7·9; IV 11·0.

A-Durchmesser: VM 0·15; VS 0·19; HM 0·16; HS 0·19. — Abstände: VM 0·06; VM-VS 0·04; HM 0·14.

Färbung: Medianbinde des Ceph sehr verkürzt (charakteristisch!), nur unmittelbar im Anschluß an die Thorakalgrube vorhanden, vorn zweigeteilt,

p. 230

hinten gerade abgestutzt; außer undeutlichen Seitenrandbinden je ein diffuser Submarginalfleck entsprechend der Lage der Coxen (I), II, III. Auf dem Clypeus verhältnismäßig breite, parallele Längsbinden. Sternum und Labium hornbraun, doch grauschwarz marmoriert. Abd dorsal Fig. 52, doch oft noch weniger gefleckt und bleicher; Ventralseite bleich, nur unmittelbar vor den Spinnwarzen eine dunkle Medianbinde, die durch eine breite, helle Längszone zweigeteilt ist.

♀ mit den allgemeinen Merkmalen des ♂. Die Epigyne (Fig. 51) mit dunkel chitinisierter, kreisbogiger Platte vor der Epigastralfurche, die auf der Fläche die Öffnungen der Vulven trägt; diese queroval, von einer sichelförmigen hinteren und einer kleineren, gekrümmten vorderen Kante eingefaßt, von sich selbst ebenso weit entfernt wie vom Seitenrand der Epigyne.

Material und Vorkommen: SW-Afrika: Windhuk (1♂ RII/3734; 1♀ 2 juv. RII/5970; 7♀ RII/6317; 3♂ 1♀ 1 juv. RII/6618; 1♀ MH). — Gobabis (1♂ RII/5189). — Okahandja (1♀ RII/11728). — Bona b. Okahandja (1♂ 1♀ MH). — Farm Neitsas, Grootfontein (3♀ 1 juv. MH). — Karibib (1♂ 2♀ 1 juv. MH).

Bemerkung: *S. atomarius* ist die einzige uns bekannte *Smeringopus*-Art, bei der die VM den VS näher stehen als sich selbst.

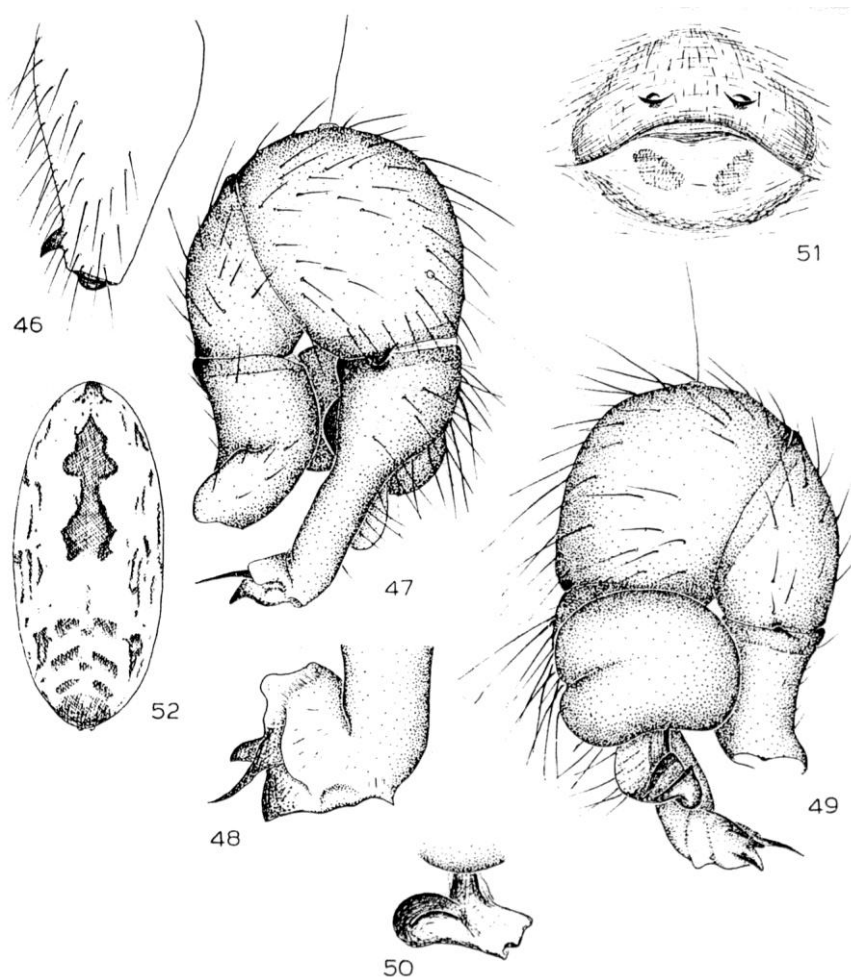


Fig. 46-52. *Smelingopus atomarius* SIMON.

46) Chelicere von lateral; 47) rechter Pedipalpus (♂) von lateral; 48) distales Ende des Ta stärker vergrößert; 49) rechter Pedipalpus (♂) von medial; 50) Bulbus-Apophyse des rechten Pedipalpus von hinten; 51) Epigyne; 52) Abdomen von dorsal.

Huber, B. A. 2012. Revision and cladistic analysis of the Afrotropical endemic genus *Smeringopus* Simon, 1890 (Araneae: Pholcidae). Zootaxa 3461: 1-138.

p. 73



432–433. *S. atomarius*, female, dorsal and ventral views.

p. 74



FIGURES 438–450. *Smeringopus hypocrita* group, male prosomata, oblique frontal view

i. 442. *S. atomarius*.

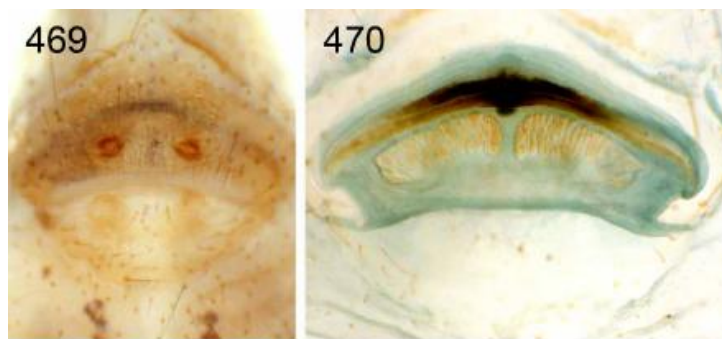
p. 75



FIGURES 451–458. *Smeringopus hypocrita* group, left male palps, prolateral and retrolateral views
atomarius.

. 453–454. *S.*

p. 76



FIGURES 459–474. *Smeringopus hypocrita* group, epigyna, ventral views and cleared female genitalia, dorsal views.
459–460. *S. atomarius*.

p. 77

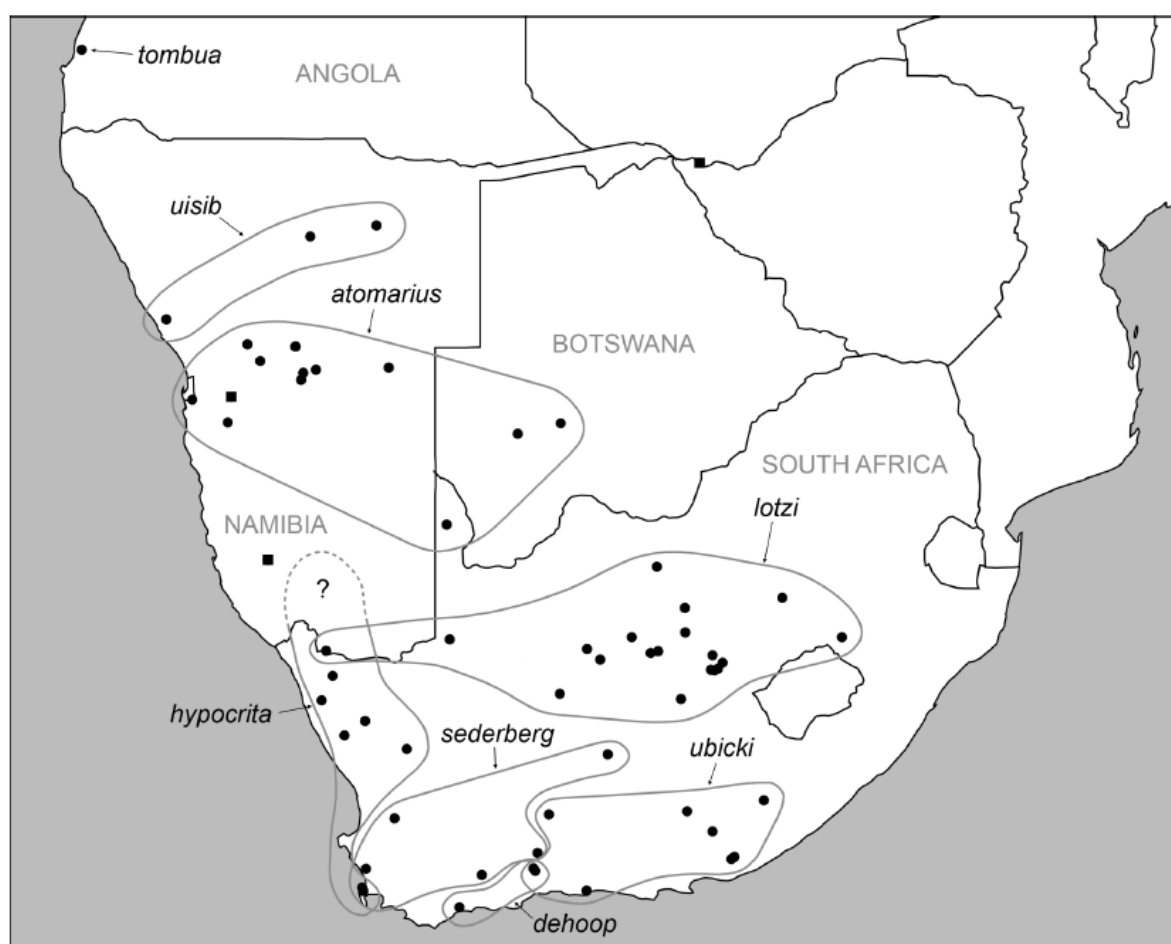


FIGURE 475. Known distribution of the *hypocrita* group. Squares: further undescribed species.

Smeringopus atomarius Simon, 1910

Figs. 432–433, 442, 453–454, 469–470, 505–508, 520–525

Smeringopus atomarius Simon 1910: 190–191. Kraus 1957: 229–230, figs. 46–52.

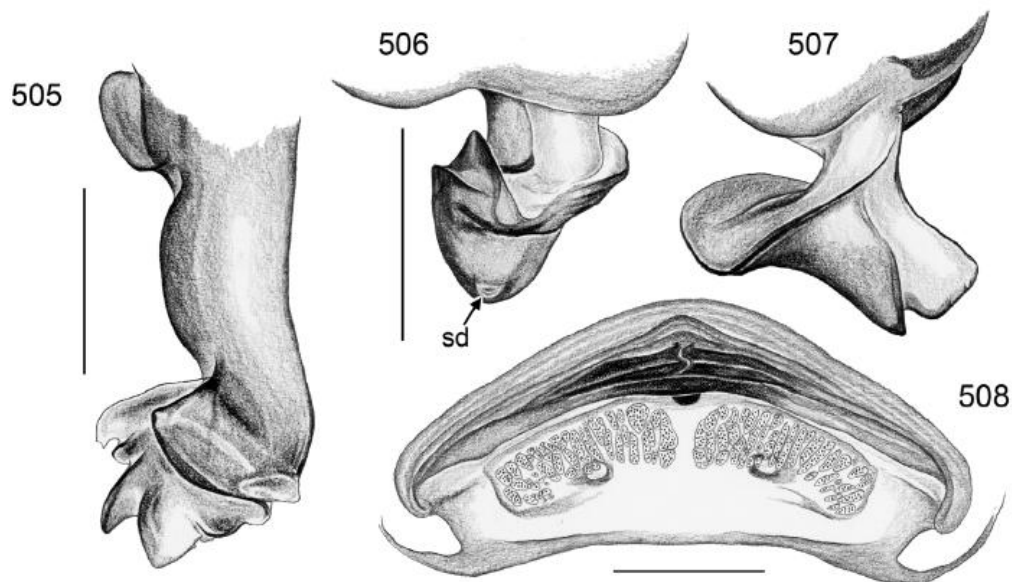
Types. 1♀ syntype(?) from Botswana, Kalahari, no date (L. Schultze), in MNHN (AR 10491), examined. Unspecified number of female syntypes from Namibia, Erongo Region, Rooibank near Walvis Bay [23°10.7'S, 14°39.0'E] and Otjimbingwe [22°21.3'S, 16°08.0'E] and from Botswana, Kgalagadi District, Lehututu [23°54.9'S, 21°49.7'E] and Kang [23°40.8'S, 22°47.0'E], not examined (not in MNHN).

Notes. Simon (1910) based his description on females from Namibia and Botswana and did not designate a holotype. Slight differences in epigynum shape among the specimens examined suggest that two species might be

involved. I follow Kraus (1957) in considering the Namibian specimens as *S. atomarius*, but further collecting (especially of males in Botswana) is necessary to solve this problem.

I have not seen the female from Neudamm (Namibia, 22°30'S, 17°22'E) assigned by Kraus (1957) to *S. hypocrita* but the distribution patterns in this species group (Fig. 475) strongly suggest that it was in fact *S. atomarius*.

Diagnosis. Distinguished from similar congeners by shapes of procursus (distal structures, Fig. 505), bulb (processes of embolus, Figs. 506, 507; similar *S. uisib*), cheliceral apophyses (similar *S. sederberg* and *S. hypocrita*; cf. Figs. 478, 479), shape of epigynum (Fig. 469; wide plate with small round pockets; similar *S. uisib*), and spotted leg femora (not only proximally as in *S. uisib*).

FIGURES 505–513. *Smeringopus atomarius* (505–508)

. 505, 510. Left procursi, dorsal views.
506–507, 511–512. Left emboli, prolateral and dorsal views. 508, 513. Cleared female genitalia, dorsal views. 509. Left cymbium and procursus, retrolateral view. Scale lines: 0.3 mm.

Male (Windhoek, CAS). Total body length 4.8, carapace width 1.6. Leg 1: 44.4 (11.7 + 0.7 + 10.6 + 19.5 + 1.9), tibia 2: 7.6, tibia 3: 5.7, tibia 4: 8.5; tibia 1 L/d: 56. Habitus as in female (cf. Figs. 432, 433). Carapace ochre-yellow with brown median and lateral marks, clypeus with pair of dark stripes, sternum ochre-yellow with brown pattern, leg femora with many brown spots, femora and tibiae with whitish tips and dark subdistal rings, abdomen ochre-gray with indistinct dorsal and ventral pattern. Distance PME-PME 140 µm, diameter PME 140 µm, distance PME-ALE 45 µm, distance AME-AME 45 µm, diameter AME 140 µm. Ocular area slightly elevated, secondary eyes with small ‘pseudo-lenses’; deep thoracic pit. Chelicerae similar *S. hypocrita* (cf. Figs. 478, 479), apophyses slightly closer together and shorter; each apophysis with one modified hair at tip (Fig. 520). Palps as in Figs. 453 and 454, coxa with distinct retrolateral apophysis, trochanter barely modified, femur with retrolateral furrow with distinct proximal rim, procursus with distinctive distal processes (Fig. 505; retrolateral view as in *S. uisib*, cf. Fig. 509), bulb with distinctive complex embolus (Figs. 506, 507; very similar *S. uisib*). Legs without spines, few vertical hairs, with curved hairs on tibiae and metatarsi 1; retrolateral trichobothrium on tibia 1 at 2.5%; prolateral trichobothrium present on tibia 1. Gonopore with two epiandrous spigots (Fig. 523); ALS with eight spigots each (Fig. 524).

Variation. Tibia 1 in 9 other males: 6.9–13.2 (mean 10.5).

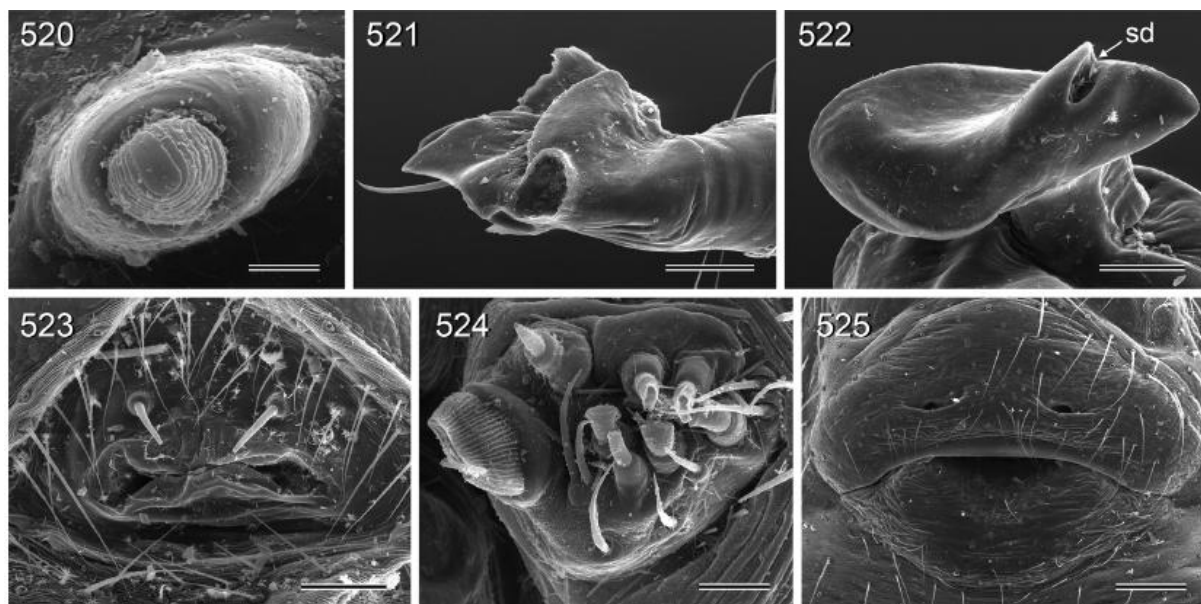
Female. In general similar to male; tibia 1 in 11 females: 7.3–11.5 (mean 10.0). Epigynum a wide plate with pockets (Figs. 469, 525; very similar *S. uisib*); internal genitalia as in Figs. 470 and 508.

Distribution. Widely distributed in central Namibia (Fig. 475). Records from Botswana need to be checked. The females from Grootfontein assigned by Kraus (1957) to *S. atomarius* are here assigned to *S. uisib*.

Material examined. NAMIBIA: *Khomas*: Windhoek [22°34'S, 17°05'E], iii.1991 (V. & B. Roth), 1♂1♀ in CAS; same locality, date and collector not given, 3♂7♀ + juvs (4 vials) in SMF (RII 3734, 5970, 6317, 6618); same locality, 24.iv.–9.v.1911 (W. Michaelsen), 1♀ in ZMH. Windhoek, Regenstein [22°43'S, 17°02'E], 9.xi. and 3.xii.1974 (3 vials) (S. Endrödy-Younga), 3♀ in TMP (18754, 18773, 18775). *Hardap*: 50 km E Gobabeb [~23°40'S, 15°25'E], in pitfall traps, iv.–vi.1979 (B. Wharton), 1♂ in CAS; same data but 28.iii.–22.iv.1979, 1♂ in CAS. *Omaheke*: Gobabis [22°27'S, 18°58'E], date and collector not given, 1♂ (only 1 palp, chelicerae missing) in SMF (RII 5189). *Otjozondjupa*: Okahandja [21°59'S, 16°55'E], v.1955 (Gaerdes), 1♀ in SMF (RII 11728 ex RII 11056). Bona near Okahandja, 2.vi.1911 (W. Michaelsen), 1♂1♀ in ZMH. *Erongo*: Karibib [21°56'S, 15°51'E], 23.–26.iv.1911 (W. Michaelsen), 1♂2♀ 1 juv. in ZMH.

SOUTH AFRICA: *Northern Cape Prov.*: Kalahari, Gemsbok Park [~25°55'S, 20°15'E], 4.ii.1987 (E.A. Ueckermann), 1♂2♀ 2 juvs in NCP (87/422).

BOTSWANA: *Kgalagadi District*: Kalahari, 1♀ syntype(?) above.



FIGURES 514–525.

S. atomarius (520–525).

520.

Male cheliceral apophysis. 521. Left procursus tip, retrolatero-dorsal view. 522. Left embolus, distal view. 523. Male gonopore. 524. Female ALS. 525. Epigynum. Scale lines: 10 µm (520), 20 µm (515, 519, 524), 60 µm (514, 517), 80 µm (522–523), 100 µm (518, 521), 200 µm (516, 525).